

طراحی کنترل کننده PID بهینه‌سازی محدود - مقعر

بهروز یونسی^۱، اشکان سبقی^۲، سعید شمقداری^۳

^۱ کارشناسی ارشد مهندسی برق، گروه کنترل، دانشگاه علم و صنعت ایران، behroz_unasi@elec.iust.ac.ir

^۲ کارشناسی ارشد مهندسی برق، گروه کنترل، دانشگاه علم و صنعت ایران، asebghati@elec.iust.ac.ir

^۳ استادیار، دانشکده مهندسی برق، گروه کنترل، دانشگاه علم و صنعت ایران، shamaghldari@iust.ac.ir

پذیرش: ۱۳۹۷/۰۹/۱۲

ویرایش دوم: ۱۳۹۷/۰۶/۱۵

ویرایش اول: ۱۳۹۷/۰۲/۳۰

دریافت: ۱۳۹۶/۰۶/۱۸

چکیده: در این مقاله الگوریتمی برای بهبود طراحی کنترل کننده PID مقید براساس بهینه‌سازی محدود - مقعر ارائه شده است. این روش طراحی مبتنی بر بهینه‌سازی یک تابع عملکرد با درنظر گرفتن قیود پایداری و کارایی با تحلیل در حوزه فرکانس می‌باشد که در آن از مفاهیم حساسیت و مکمل حساسیت استفاده شده است. با یک مثال نقض نشان داده می‌شود که روش‌های قبلی، برای دسته‌ای از سیستم‌ها کارایی ندارد و مسئله بهینه‌سازی، به صورت نامحدود از بالا شده و متوقف می‌شود. برای رفع این مشکل، به شرایطی که مسئله بهینه‌سازی، دارای جواب نیست پرداخته شده و با ارائه روش جدید طراحی، محدودیت‌های قابلی برطرف می‌گردد. کارایی روش پیشنهادی، با طراحی کنترل کننده PID برای مثال نقض نشان داده می‌شود. در انتها، کنترل کننده برای یک سیستم ناپایدار طراحی می‌شود.

کلمات کلیدی: طراحی کنترل کننده PID، بهینه‌سازی محدود - مقعر، پایداری، قیود حساسیت و مکمل حساسیت.

Constrained Optimal PID Controller Design: Convex-Concave Optimization Approach

Behrooz Yonesie, Ashkan Sebghati, Saeed Shamaghldari

Abstract: In this paper, an algorithm is proposed to improve the constrained PID control design based on the convex-concave optimization. The control system is designed by optimizing a performance cost function, taking into account the stability and efficiency constraints with frequency domain analysis in which the sensitivity and complementary sensitivity concepts are used. It is shown, using a counter example, the previous methods are not effective for some systems, the optimization problem becomes unbounded and interrupted. To solve the problem, conditions where the optimization problem fails to have a response are analyzed and the previous limitations are eliminated by representing a new designing method. The performance of the proposed scheme is shown by applying it to the counter example. Moreover, the control system is designed for an unstable system.

Keywords: PID control design, convex-concave optimization, stability, sensitivity and complementary sensitivity constraints.

۱- مقدمه

عيوب اين روش، محدب نبودن مسئله، پيچيدگي و محاسبات زياد آن است [۹]. روش های ساده‌اي همانند زيگر-نيکولز داراي پاسخ مناسب نمي باشند و نيز روش‌هايي همانند بهينه‌سازی ضريب انگرالی مقيده، در ضمن دارابودن پاسخ مناسب، داراي محاسبات فراوان است. بهمين علت، روش AMIGO^۴ و روش تنظيم Kappa-Tau ابداع شد [۱۰]. Astrom و Hagglund در قوانين تنظيم AMIGO، معيار E^۵ را بالحظ قيد مقاوم بر حساسيت ترکيبي، كمكينه کرده بودند اما نويز اندازه گيري را لاحظ ننمودند [۶].

امروزه روش‌هاي پيچيدگهتر، كه علاوه‌بر طراحی پaramترهاي کنترل کننده به بهينه‌سازی کنترل کننده هم مي‌پردازند ارائه شده است. مرتع [۱۱] روشی برای طراحی تنظيم کننده تابسي- انگرالی برای دسته‌ي خاصی از سیستم‌هاي غير خطی ارائه نموده است که در آن، طراحی به کمک بهينه‌سازی مجموع مرباعات، انجام می‌گيرد. روش ارائه شده، بر مبنای تابعی به نام تابع چگالی، تبدیل به يك مسئله‌ي بهينه‌سازی محدب می‌گردد و مقاوم بودن آن در برابر عدم قطعیت، تضمین شده است. يكی از مزایای اين روش، عدم نياز به پايدار بودن سیستم مورد بررسی است. در [۱۲]، کنترل فرکانس بار^۶ در دو شبکه‌ي قدرت با استفاده از کنترل کننده PID، موردن مطالعه قرار گيري. روش‌هاي طراحی کنترل کننده در اين مقاله، عبارتند از: بهينه‌سازی از دحام ذرات^۷، بهينه‌سازی وزدن دار طبیقی از دحام ذرات^۸، ANFIS^۹ AACPSO^{۱۰} و روشی که در [۱۳] ارائه شده است، با استفاده از الگوريتم آموزشي - يادگيري^{۱۱} مبتنی بر بهينه‌سازی، به طراحی کنترل کننده PID برای کنترل تولید نيروي خودکار^{۱۲} دو سیستم گرمابی متصل بهم با منطقه‌های مختلف، مي‌پردازد. در مثال بررسی شده در [۱۳]، نشان داده شده است که اين روش نسبت به روش‌هاي LCOA^{۱۳}، GA^{۱۴}، PS^{۱۵} و SA^{۱۶} که مبتنی بر PID هستند، از منظر زمان نشست، بالازدگی و پاين زدگی، دارای عملکرد ديناميكي بهتری مي‌باشد. همچنین نشان داده شده است که اين کنترل کننده در برابر تغييرات وسیع پaramترهاي سیستم، مقاوم بوده و نياز به طراحی مجدد کنترل کننده نیست. روش دیگر، طراحی کنترل کننده‌هاي IT2FPID^{۱۷}، مبتنی بر بهينه‌سازی برای مسئله کنترل فرکانس بار است. در الگوريتم BB-BC^{۱۸} برای تنظيم نمودن ضرلييب وزنده‌ي و اثر عدم قطعیت، توابع عضويت کنترل کننده‌هاي IT2FPID به کاربرده‌ي شود تا انحراف‌هاي فرکانسي سیستم در برابر اختشاش‌هاي بار را کمكينه نماید. -BC، يك الگوريتم بهينه‌سازی عمومي است و داراي بار محاسباتي کم و سرعت هم گرایي بالا مي‌باشد و بنابراین هنگامی که تعداد پaramترهاي بهينه‌سازی زياد باشد، مناسب است [۱۴]. [۱۵] روشی درمورد طراحی

کنترل کننده‌هاي PID به علت سادگي، مقاوم بودن، دارا بودن طيف گسترده‌اي از کاربردها و قابلیت عملکرد نزديك به بهينه، به عنوان پژوهش، نود در صد کنترل کننده‌ها در صنعت استفاده مي‌شوند. براساس يك يكی از مهم‌ترین موضوعات، نحوه‌ي مناسب تنظيم نمودن پaramترهاي کنترل کننده PID است به نحوی که سیستم حلقه‌بسته داراي پاسخ مقاوم نسبت به تغيير پaramترهاي مدل، داراي بيشترین کاهش اثر نويز در خروجي و داراي قابلیت حداکثری از بين بودن اغتشاش در خروجي باشد. تاکنون روش‌هاي مختلفي برای تنظيم پaramترهاي کنترل کننده PID ارائه شده است. از جمله، روش زيگر-نيکولز است که از اولين روش‌هاي مطرح شده برای تنظيم پaramترهاي کنترل کننده PID است [۲،۳،۴]. اين روش به دليل استفاده‌ي حداقلی از ديناميک سیستم، با تنظيم پaramترهاي کنترل کننده، معمولاً پاسخ مناسبی را نتيجه نمي‌دهد. اين گونه روش‌ها بر تضييف اغتشاش خروجي تمرکز دارد اما در اين کنترل کننده‌ها مقاوم بودن در برابر عدم قطعیت فرآيند و نويز اندازه گيري، لاحظ نشده و درنتیجه قانون‌هاي تنظيم مربوطه، کنترل کننده‌هاي با ضعف مقاوم بودن در برابر عدم قطعیت فرآيند و نويز اندازه گيري را ارائه مي‌نمایند. روش کنترل مدل داخلی (IMC^۱) يك روش عمومي برای طراحی است و مي‌توان از آن برای طراحی کنترل کننده PID با استفاده از کنترل مدل داخلی که تنظيم پaramترهاي کنترل کننده PID با استفاده از کنترل مدل داخلی که توسيط نويستند گان [۶] انجام شد، ثابت زمانی سیستم حلقه‌بسته را به عنوان پaramتر تنظيم درنظر مي‌گيرد تا ميان عملکرد و مقاوم بودن، مصالحه برقرار نماید. Skogestad، اصلاحاتي بر اين روش با هدف بهبود عملکرد فرآيندهای lag-dominant انجام داد که SIMC^۲ نام دارد. اين روش delay-dominant و Skogestad و Grimholt توسيط بهبود یافت [۶]. روش هالمن و روش تنظيم پaramتر، داراي اساس مشترك حذف قطب‌ها و صفرهای سیستم با قطب‌ها و صفرهای کنترل کننده است. نقطه ضعف اين روش، آن است که حذف قطب و صفر ممکن است به حالت غيرقابل کنترل در سیستم حلقه‌بسته منجر شود [۷]. در روش‌هاي گرافينيکي که جزو روش‌هاي حسي هستند، هدف، به دست آوردن مراکز نواحي پليدار در فضای پaramترهاي کنترل کننده برای انتخاب نقطه‌ي مناسب است؛ به نحوی که به مقدار کافي از مرنز نواحي پايداري فاصله داشته باشد [۸]. روش بهينه‌سازی ضريب انگرالی مقيده^۳، برای بيشينه نمودن ضريب انگرالی با در نظر گرفتن حداکثر حساسيت مي‌باشد.

¹⁰ Adaptive Neuron Fuzzy Inference System

¹¹ Teaching-Learning Based Optimization (TLBO)

¹² Automatic Generation Control (AGC)

¹³ Lozi Map Based Chaotic Optimization Algorithm

¹⁴ Genetic Algorithm

¹⁵ Pattern Search

¹⁶ Simulated Algorithm

¹⁷ Interval Type-2 Fuzzy PID (IT2FPID)

¹⁸ Big-Bang Big-Crunch

¹ Internal Model Control

² Skogestad Internal Model Control

³ Constrained Integral Gain Optimization

⁴ Approximate Ms-Constrained Integral Gain Optimization

⁵ Integral of Error

⁶ Load Frequency Control (LFC)

⁷ Particle Swarm Optimization

⁸ Adaptive weight Particle Swarm Optimization

⁹ Adaptive Acceleration Coefficients based PSO

بهینه نمودن یک معیار می بردارند؛ این روش ها با این که از روش های قبل، کاربردی تر می باشند، محدودیت های سیستم را در نظر نمی گیرند و از این جهت دارای ضعف می باشند. یکی از روش هایی که علاوه بر بهینه نمودن یک تابع هزینه، قیود سیستم را برای طراحی کنترل کننده PID در نظر می گیرد در سال ۲۰۱۳ در [۱۸] ارائه شد. در آن جا، روشی برای طراحی کنترل کننده PI و PID، به صورت حل یک مسئله بهینه سازی مقید برای سیستم های خطی ارائه شده است. یک محدودیت مهم و قابل توجه این روش، واگرایی محدود کننده است. در آن جا، روشی برای تعیین ضرایب PID، بیان نموده است. این روش، بار محاسباتی معقولی دارد و اغلب در نقطه کمینه محلی، متوقف نمی شود. در [۱۶] برای طراحی بهینه سازی آزاد از مشتق^۱ مبتنی بر الگوریتم ژنتیک را برای تعیین ضرایب بهینه PID، بیان نموده است.

این پژوهش، علاوه بر ارائه یک مثال برای نشان دادن وجود این محدودیت در الگوریتم [۱۸]، یک قضیه که بیان گر شرایط لازم برای همگرا شدن مسئله طراحی کنترل کننده است، آورده شده است. روشی که در این مقاله، ارائه می شود، کنترل کننده PID با هدف کاهش خطای ریدیابی بالحظ نمودن قیود حساسیت است. تفاوت اصلی این پژوهش با [۱۸] اضافه نمودن یک قید محدود اضافه است تا الگوریتم حل مسئله، موقعیت به طراحی کنترل کننده با عملکرد مورد نظر شود.

در ادامه در بخش ۲، روش طراحی کنترل کننده PID مقید بر اساس بهینه سازی محدود - مقعر بیان می گردد. بخش ۳، محدودیت این روش را با یک مثال نقض نشان می دهد. در بخش ۴، روش پیشنهادی در این مقاله معرفی می شود و با ارائه چند مثال در بخش ۵، نشان داده می شود که روش پیشنهادی ضمن رفع مشکل نامحدود شدن الگوریتم، عملکرد مناسبی دارد.

۲- طراحی کنترل کننده PID مقید بر اساس بهینه سازی محدود - مقعر

هدف اصلی این پژوهش طراحی کنترل کننده PID با بهینه سازی کارایی در ضمن قیدهای حساسیت و مکمل حساسیت می باشد. ساختار کنترل کننده در رابطه زیر آمده است و ساختار سیستم حلقبسته به صورت فیدبک واحد می باشد. (s) تابع تبدیل سیستم و $C(s)$ تابع تبدیل کنترل کننده می باشد.

$$C(s) = k_p + \frac{k_i}{s} + k_d s \quad (1)$$

از آنجایی که هدف، کاهش خطای حالت ماندگار است، ابتدا رابطه

$$IAE = \int_0^{\infty} |e(t)| dt \quad (2)$$

PID بهینه برای سیستم های IPT^۱، ارائه نموده است. این سیستم ها ذاتاً شبکه های نوسانی مرتبه بالا می باشند. بهمین علت اگر مشخصات متنوعی از پاسخ سیستم مدنظر باشد، با یک مسئله چنددهفه روبرو می شویم که بهینه سازی مستقیم ضرایب PID در این حالت، اختلال منجربه یک مسئله غیر محدود می شود. برای رفع این مشکل، این مقاله، شیوه هی بهینه سازی آزاد از مشتق^۲ مبتنی بر الگوریتم ژنتیک را برای تعیین ضرایب بهینه PID، بیان نموده است. این روش، بار محاسباتی معقولی دارد و اغلب در نقطه کمینه محلی، متوقف نمی شود. در [۱۶] برای طراحی بهینه کنترل کننده PID با استفاده از شیوه TCGA^۳، برای سیستم AVR^۴، یک روش ارائه شده است. در [۱۷] یک طراحی با بهینه سازی چند هدف، برای کمینه ساختن بیشترین درصد بالازدگی، زمان اوج، زمان نشست و خطای حالت مانای ولتاژ انتهایی ژنراتور سنکرون، معرفی گردیده است. با این روش، پاسخ پله هی سیستم AVR می تواند بهبود یابد.

در ادامه، روش های ارائه شده برای طراحی کنترل کننده PID بهینه در ضمن وجود قیدهایی بر سیستم آورده شده است. این روش ها به علت این که محدودیت های سیستم را در نظر می گیرند، نسبت به روش های قبل برای پیاده سازی مناسب تر می باشند. در [۱۷] روشی برای طراحی کنترل کننده های PID بر اساس بهینه سازی غیر محدود، بیان شده است. این روش، روشی عددی است که هدف، حذف اغتشاش با قیود حساسیت و وزن دهی پاسخ به ورودی مرجع می باشد. مقاوم بودن در برابر عدم قطعیت سیستم، اغتشاش بار و سیگنال مرجع، در این روش لحاظ شده است. در این جا، یک مسئله بهینه سازی حل می شود. تابع هدف، کاهش اغتشاش خروجی است و قید روی حداکثر حساسیت می باشد و معادلات، به صورت جبری خواهند بود. رویکردهای جلیل این مقاله عبارتند از: آنالیز قیود حساسیت و شیوه مخصوص کنترل کننده وزن دهی به سیگنال مرجع. در [۱۸] روشی را برای طراحی کنترل کننده PI و PID، به صورت حل یک مسئله بهینه سازی مقید، ارائه نموده است. تابع هدف در نظر گرفته شده، بیشینه نمودن ضریب انگرال گیر می باشد. این کار سبب می شود تا معیار IAE، کمینه شود و چنانچه سیستم در حالت نوسانی قرار نگیرد، معیار IAE^۵ کمینه می گردد. همچنین افزایش ضریب انگرال گیر_i, k_i ، قدرت دفع اغتشاش را افزایش داده و زمان پاسخ سیستم را کاهش می دهد. دو قید حساسیت و مکمل حساسیت، برای مقاوم نمودن سیستم حلقبسته و جلوگیری از بزرگ شدن بیش از حد_i, k_i در نظر گرفته شده است.

به علت در نظر نگرفتن قیود موجود در سیستم های عملی، روش های ابتدایی، همانند [۲]، [۷] و [۸] که به طراحی پارامترهای PID می بردارند، پاسخ گوی نیازهای پژوهشگران نمی باشند. روش هایی که در مقایسه نظری [۱۴] و [۱۵] آمده است علاوه بر طراحی ضرایب کنترل کننده، به

⁴ Automatic Voltage Regulator

⁵ Integral of Absolute Error

¹ Inductive Power Transfer

² Derivative-Free

³ Taguchi Combined Genetic Algorithm

رابطه‌ی زیر را دارد که مسئله‌ی بهینه‌سازی محدب-مقعر ، نام‌گذاری شده است.

$$\begin{aligned} \min \quad & f_0(x) - g_0(x) \\ \text{subject to} \quad & f_i(x) - g_i(x) \leq 0 \quad i = 1, \dots, m \end{aligned} \quad (7)$$

در مسئله‌ی (7)، x بردار ضرایب کنترل کننده و $f_0(x)$ ، $g_0(x)$ ها و $f_i(x)$ ها، توابع محدب هستند. همچنین ملاحظه می‌شود که در مورد رابطه‌ی (6) داریم:

$$\begin{aligned} f_0(x) &= 0, \quad g_0(x) = k_i, \\ f_1(x) &= r_s, \quad f_2(x) = k_i, \\ g_1(x) &= |L - c_s|, \\ g_2(x) &= |L - c_t| \end{aligned}$$

روشی که در ادامه استفاده می‌شود، بدین صورت است که بخش مقعر حول یک مقدار اولیه برای ضرایب PID خطی می‌شود. این مقدار اولیه که با x_0 نمایش داده می‌شود، بایستی پایدارساز باشد. بنابراین یک مسئله‌ی محدب وجود دارد که تفاوت آن با مسئله‌ی اصلی، محافظه کارانه شدن قیود، می‌باشد. جواب به دست آمده نقطه‌ی جدید درنظر گرفته می‌شود و دوباره روش برروی آن اجرا می‌گردد و همین طور تا همگرا شدن پاسخ، به صورت مرحله‌به‌مرحله ادامه می‌یابد. بنابراین:

$$\hat{h}(x) = f(x) - g(x_k) - \nabla g(x_k)^T (x - x_k) \quad (8)$$

باید دقت شود که در حل این مسئله، فرکانس زاویه‌ای متغیر نبوده بلکه تعدادی نمونه‌ی گسسته از آن در بازه‌ای که دارای اهمیت است درنظر گرفته می‌شود. این نمونه‌ها با دقت دلخواه و به صورت لگاریتمی انتخاب می‌شود. حداقل فواصل نقاط فرکانس زاویه‌ای انتخاب شده، بستگی به میزان پیچیدگی منحنی نایکوئیست دارد به طوری که اطلاعات سیستم از دست نمود. بنابراین به ازای هر ω ، یک قید خواهیم داشت.

قیود دایره را می‌توان به صورت رابطه‌ی زیر نمایش داد.

$$r - |L - c| \leq 0 \quad (9)$$

که در آن، L تابع تبدیل حلقه‌باز، c مرکز دایره‌ی مورد نظر و r شاعع دایره‌ی مربوطه می‌باشد. با اعمال رابطه‌ی (8) بر رابطه‌ی (9)، رابطه‌ی زیر به دست می‌آید.

$$r - \operatorname{real} \left(\frac{(L_k - c)^*}{|L_k - c|} (L - c) \right) \leq 0 \quad (10)$$

در این رابطه، $*$ نشان‌دهنده‌ی مزدوج شدن عبارت است.

را که بیان گر معیار IAE است، درنظر می‌گیریم. در رابطه‌ی فوق، سیگنال خطای سیستم حلقه‌بسته است. از طرفی حاصل معیار IE با استفاده از رابطه‌ی (1) به ازای ورودی مرجع پله با دامنه‌ی k_i ، در رابطه‌ی

$$IE = \int_0^\infty e(t) dt = \frac{k_i}{P(0)k_i} = \frac{\gamma}{k_i}, \quad \gamma = \frac{k_i}{P(0)} \quad (3)$$

مالحظه می‌شود. با توجه به رابطه‌ی (2)، تابع هزینه بیشینه نمودن k_i انتخاب می‌شود. برای سیستمی با میرایی زیاد، رابطه‌ی (2) و (3) تقریباً برابر هستند؛ بنابراین معیار IE و به عبارتی دیگر بیشینه نمودن k_i را به عنوان تابع هزینه انتخاب می‌نماییم.

اما این هدف، به تنهایی کافی نیست زیرا می‌تواند با افزایش زیاد k_i منجر به نوسانی شدن شدید پاسخ شود. بنابراین، از قیود حساسیت و مکمل حساسیت استفاده شده است. این قیود، در صفحه‌ی مختلط حوزه‌ی فرکانس، بیان گر مفاهیم خاصی از نظر مکان هندسی می‌باشد [۸]. برای نشان دادن این موضوع، تابع حساسیت ($S(s)$) و مکمل حساسیت ($T(s)$) در رابطه‌ی

$$S(s) = \frac{1}{1 + L(s)}, T(s) = \frac{L(s)}{1 + L(s)}, L(s) = P(s)C(s) \quad (4)$$

تعريف می‌شوند. در این روابط، $P(s)$ و $C(s)$ به ترتیب تابع تبدیل سیستم و کنترل کننده می‌باشد. پارامترهای طراحی هم که مطابق رابطه‌ی (4) به سیستم حلقه‌بسته مربوط می‌شوند، در رابطه‌ی زیر تعریف شده‌اند.

$$M_s = \max_{\omega} |S(i\omega)|, M_t = \max_{\omega} |T(i\omega)| \quad (5)$$

در این حالت، قید حساسیت بیان می‌دارد که منحنی نایکوئیست تابع تبدیل حلقه‌باز ($L(s)$)، خارج از دایره‌ای به مرکز $c_s = -1$ و شاعع $r_s = \frac{1}{M_s}$ قرار گیرد. همچنین قید مکمل حساسیت، بیان می‌دارد که منحنی نایکوئیست تابع تبدیل حلقه‌باز، خارج از دایره‌ای به مرکز

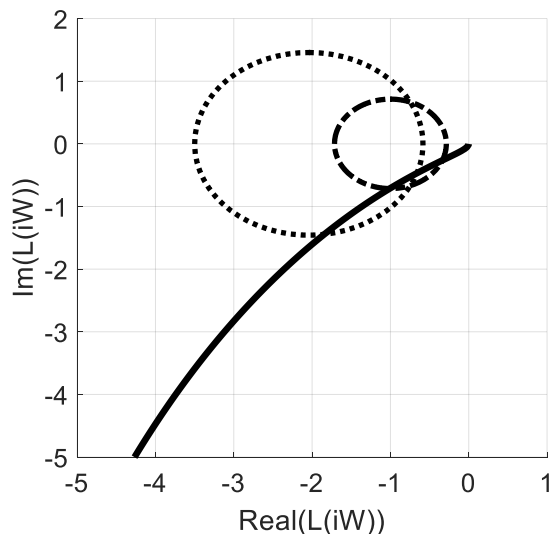
$$r_t = \left| \frac{M_t}{M_t^2 - 1} \right| \text{ و شاعع } c_t = -\frac{M_t^2}{M_t^2 - 1} \quad (10)$$

با توجه به [۱۸] مسئله‌ی بهینه‌سازی بیشینه نمودن ضریب انگرال گیر با قیود حساسیت و مکمل حساسیت به صورت زیر می‌باشد.

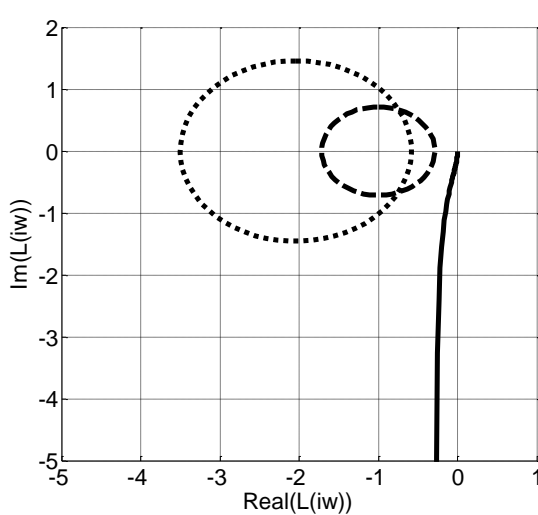
$$\begin{aligned} \min \quad & -k_i \\ \text{subject to} \quad & r_s - |L - c_s| \leq 0 \\ & r_t - |L - c_t| \leq 0 \end{aligned} \quad (6)$$

چالشی که در این روش وجود دارد، این است که مسئله‌ی بهینه‌سازی محدود توصیف شده‌ی فوق، غیرمحدب می‌شود، اما قابلیت تبدیل شدن به فرم

حلقه بسته با افزایش k_i می‌باشد. با توجه به این که روش توصیف شده با حل چند مسئله بهینه سازی به طور متوازن، بایستی به جواب مسئله محدوده سازی اصلی همگرا شود، در یکی از مراحل اولیه این الگوریتم، قیود دایره، قادر به جلوگیری از افزایش بیش از حد k_i نمی‌باشد و در نتیجه الگوریتم متوقف می‌شود. با متوقف شدن الگوریتم، حل کننده مسئله مقدار ضریب انتگرال‌گیر را برابر ۱ قرار می‌دهد. این موضوع، حاکی از ضعف روش فوق است. در این حالت، منحنی نایکوئیست سیستم جدید به همراه قیدها در شکل ۳ با ضرایب $k_p = 0.7, k_i = 10, k_d = 0$ رسم شده است.



شکل ۲: نایکوئیست تابع تبدیل حلقه باز با کنترل کننده PID اولیه پایدار (منحنی توپر) به همراه قیدهای دایره‌ای (دایره‌های نقطه‌چین و خط‌چین با $M_s = M_i = 1.4$)



شکل ۳: نایکوئیست تابع تبدیل حلقه باز با کنترل کننده PID محاسبه شده توسط روش محدب مقعر (منحنی توپر)، قیدهای دایره‌ای (دایره‌های نقطه‌چین و خط‌چین با $M_s = M_i = 1.4$)

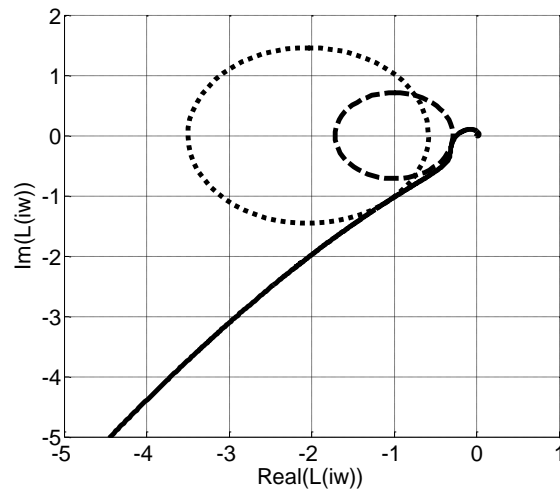
۳- ارزیابی روش و بیان مثال نقض

صحت روش بیان شده در بخش ۲ برای برخی از سیستم‌ها با ۴ مثال در [۱۸] بررسی شده است. روش فوق، روش بهینه سازی ضریب انتگرالی با قید M را بازنویسی نموده است. این مقاله با اضافه نمودن قید دایره‌ای یا قید حساسیت و مکمل حساسیت، به یک رابطه محدب برای طراحی کنترل کننده PID رسیده است. محدودیتی که در این روش وجود دارد، آن است که نوع سیستم‌هایی را که می‌توان براساس آن برایشان کنترل کننده طراحی نمود، آورده نشده است. مثلاً برای سیستم $P(s) = e^{-\sqrt{s}}$ ، کنترل کننده به صورت

$$C(s) = 7.40 + \frac{48.25}{s} + 0.46s$$

سیستم به همراه قیدهای، در شکل ۱ رسم شده است. در این شکل، نایکوئیست سیستم بر قیدهای دایره‌ای مماس می‌باشد؛ یعنی بیش ترین مقدار k_i با لحاظ نمودن قیدها بدست آمده است.

اکنون به عنوان مثال، حالتی را در نظر بگیرید که منحنی نایکوئیست با افزایش k_i از مرز قید دایره، فاصله بگیرد. در این صورت، k_i نامحدود به دست می‌آید و الگوریتم متوقف می‌گردد. در ادامه، سیستمی را که چنین شرایطی داشته باشد، به عنوان مثال نقض این روش، بیان می‌نماییم.



شکل ۱: نایکوئیست تابع تبدیل حلقه باز با کنترل کننده PID (منحنی مشکی) به همراه قیدهای دایره‌ای (دایره‌های نقطه‌چین و خط‌چین با $M_s = M_i = 1.4$)

مثال نقض: سیستم $P(s) = \frac{1}{s+1}$ را در نظر بگیرید. اگر کنترل کننده PID با مقدار اولیه دلخواه برای ضرایب کنترل کننده به نحوی که سیستم پایدار باشد، طراحی شود، حل مسئله بهینه سازی نامحدود از بالا^۱ می‌شود. ضرایب اولیه کنترل کننده برای این سیستم عبارتند از $k_p = 1, k_i = 10, k_d = 0$ و نتیجه در شکل ۲ رسم شده است. علت این که یک جواب بهینه محلی یک جواب شدنی با کارایی نامناسب را نتیجه می‌دهد، نحوه تغییر منحنی نایکوئیست سیستم

^۱ Unbounded Above

$$\begin{aligned} & \max_x x_j \\ & s.t: \\ & a \leq f_i(x) \leq b \text{ for } i=1,\dots,m; \quad a,b \in \mathbb{R} \end{aligned}$$

که در آن، a و b مقادیر ثابت و محدود، \mathbb{R} مجموعه اعداد حقیقی، m یک عدد طبیعی و x_j یکی از درایه‌های بردار x هستند. اگر مجموعه شدنی فوق، وجود داشته و بسته باشد و $f_i(x)|_{x_j=0}$ محدود و $|f_i(x)-f_i(x)|_{x_j=0}$ نامحدود شعاعی^۳ باشد) $\lim_{x_j \rightarrow \infty} |f_i(x)| \rightarrow \infty$ ، آن‌گاه جواب این مسئله حتماً محدود خواهد بود.

اثبات - با استفاده از برهان خلف، قضیه‌ی فوق اثبات می‌گردد. فرض می‌شود مقدار تابع هدف، نامحدود باشد. بدلیل خاصیت نامحدود شعاعی بودن، $|f_i(x)-f_i(x)|_{x_j=0}$ نیز نامحدود خواهد شد. و بنابراین باید $f_i(x)$ نامحدود باشد که با فرض مسئله یعنی ثابت بودن مقادیر a و b در تناقض است.

مسئله اصلاح شده‌ی طراحی کنترل کننده PID مطابق رابطه‌ی زیر می‌باشد.

$$\begin{aligned} & \max k_i \\ & s.t: \\ & \hat{h}_{1i}(x) \leq 0 \quad \text{for } i=1,\dots,N \\ & -f_{1i}(x) \leq LB_1 \quad \text{for } i=1,\dots,N \\ & \hat{h}_{2i}(x) \leq 0 \quad \text{for } i=1,\dots,N \\ & -f_{2i}(x) \leq LB_2 \quad \text{for } i=1,\dots,N \end{aligned} \quad (14)$$

در مسئله‌ی بهینه‌سازی (۱۴)، N تعداد نقاط انتخاب شده از بازه‌ی فرکانسی، $f_{1i}(x)$ و $f_{2i}(x)$ به ترتیب فاصله‌ی نقطه‌ی متناظر با فرکانس i ام منحنی نایکوئیست تابع تبدیل حلقه‌باز از دایره‌های حساسیت و مکمل حساسیت و $(x) \hat{h}_{1i}(x)$ و $\hat{h}_{2i}(x)$ به ترتیب محدود شده‌ی تابع $f_{1i}(x)$ و $f_{2i}(x)$ توسط رابطه‌ی (۸) می‌باشد. در این مسئله بهینه‌سازی، منحنی نایکوئیست، بین دو دایره‌ی اولیه و دو دایره‌ی ثانویه قرار می‌گیرد. بنابراین جواب مسئله‌ی بهینه‌سازی هیچ وقت نامحدود نمی‌شود مگر در حالت خاصی که با نامحدود شدن k_i ، $L(j\omega_j)$ محدود بماند؛ اما در این جا، این اتفاق نمی‌افتد. زیرا تابع قید، مربوط هستند. اما از آن جایی که قیود حساسیت و مکمل حساسیت، محدود نیستند و به صورت محافظه‌کارانه تقریب خطی آن‌ها در نظر گرفته می‌شود، نمی‌توان مستقیماً از قضیه‌ی فوق استفاده نمود. برای رفع این مشکل، بایستی حد بالایی برای خطای ناشی از تقریب این دو دسته قید در تمامی مراحل الگوریتم یافت. سپس هنگام طراحی کنترل کننده‌ی اولیه، علاوه‌بر این که منحنی‌های نایکوئیست باید بیرون از دایره‌های حساسیت و مکمل

۴- بهبود طراحی کنترل کننده PID مقید براساس بهینه‌سازی محدب - مقعر

در این پژوهش طراحی کنترل کننده PID با بهینه‌سازی کارایی در ضمن قیدهای حساسیت و مکمل حساسیت انجام می‌شود. معیار کارایی در این مقاله کمینه نمودن IAE می‌باشد. در سیستم‌های با میرایی زیاد برای سهولت می‌توان از معیار IAE به جای معیار IE استفاده نمود. در این مسئله‌ی بهینه‌سازی، قیود حساسیت و مکمل حساسیت به منظور جلوگیری از افزایش بی‌رویه‌ی k_i استفاده شده است که در مورد بعضی از سیستم‌ها همانند مثال نقض فوق، کافی نمی‌باشد. به منظور رفع مشکل واگرایی الگوریتم، ابتدا کنترل کننده‌ای طراحی می‌شود که پایدارساز بوده و منحنی نایکوئیست تابع تبدیل حلقه‌باز، بیرون از دو دایره قرار گیرد. مطابق رابطه‌ی زیر به ازای تمام فرکانس‌های انتخاب شده، فاصله‌ی منحنی نایکوئیست تابع تبدیل حلقه‌باز از هر دو دایره، محاسبه می‌گردد:

$$d_{ij} = \left\| L(j\omega_j) - c_i \right\| - r_i, \quad \text{for } j=1,\dots,N, i=s,t \quad (11)$$

سپس در

$$LB_i = \alpha \sqrt{\sum_{j=1}^N d_{ij}^2}, \quad \text{for } j=1,\dots,N, i=s,t \quad (12)$$

معیار جذر جمع مربعات^۱ تعریف می‌شود. که در آن $\alpha \geq 1$ ضریب تنظیم و d_{ij} فاصله‌ی منحنی نایکوئیست از دایره‌های حساسیت می‌باشد و نیز: $LB_i \geq d_{ij}$ ، for $j=1,\dots,N$ ، $i=s,t$ سپس $-LB_i$ به عنوان کران پایین $f_i(x) - g_i(x)$ در نظر گرفته می‌شود. بنابراین:

$$g_i(x) - f_i(x) \leq LB_i \quad \text{for } i=s,t \quad (13)$$

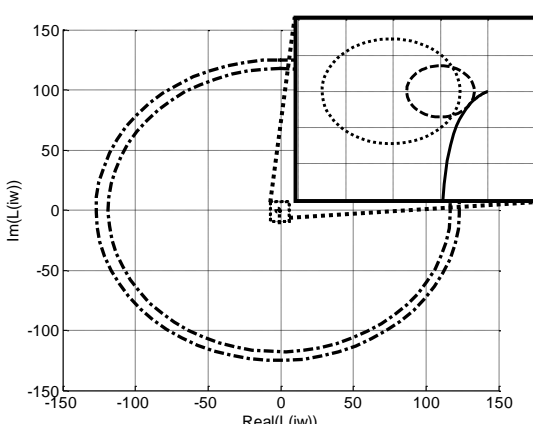
این دو دسته قید، بیان گر داخل قرار گرفتن منحنی نایکوئیست تابع تبدیل حلقه‌باز، درون دو دایره به شعاع $LB_i + r_i$ و به مرکز c_i است. اکنون فرض می‌نماییم دو قید حساسیت و مکمل حساسیت محدب بوده و عبارتی نیازی به تقریب زدن آن‌ها و استفاده از الگوریتم مرحله‌ای نباشد. با توجه به قضیه‌ی زیر اگر کنترل کننده‌ی طراحی شده اولیه، به عنوان مقدار اولیه مسئله‌ی بهینه‌سازی جدید، وارد الگوریتم گردد، این مسئله حتماً شدنی^۲ خواهد بود زیرا در بدترین شرایط، فقط یک جواب خواهد داشت که همان کنترل کننده‌ی طراحی شده اولیه می‌باشد.

قضیه: در مسئله‌ی بهینه‌سازی زیر

^۳ Radially Unbounded

^۱ RSS: Root of Sum of Squares
^۲ feasible

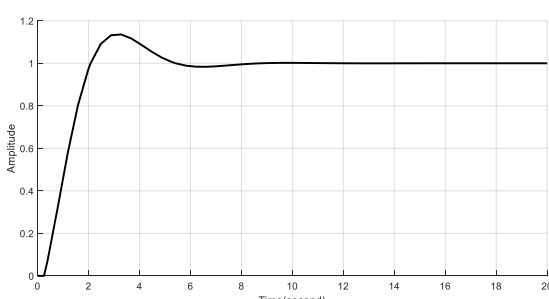
حساسیت فرارداشته باشد، همچنین باید به مقدار حد بالای محاسبه شده از دایره‌ها، فاصله داشته باشد.



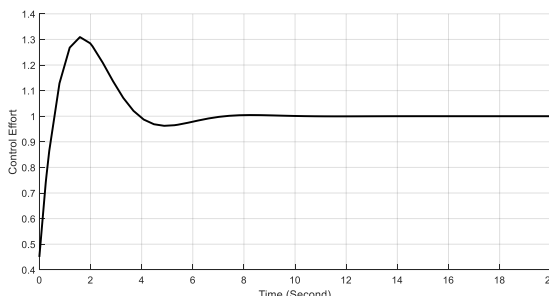
شکل ۶: نایکوئیست تابع تبدیل حلقه‌باز با کنترل کننده PI جدید و پایدار ساز (منحنی توپر)، قیدهای دایره‌ای (دایره‌های نقطه‌چین) و خط‌چین با (دایره‌های RSS) (دایره‌های نقطه خط با $\alpha = 1$) و قیدهای RSS (دایره‌های نقطه خط با $M_s = M_r = 1.4$)

مثال ۲ در این مثال برای سیستم با تأخیر زمانی $P(s) = \frac{e^{-0.25s}}{(s+1)}$

کنترل کننده PI طراحی شده است. کنترل کننده اولیه به صورت $C_0(s) = 5$ در نظر گرفته شود. با اضافه نمودن قیدهای RSS با $\alpha = 1$ و $M_s = M_r = 1.4$ و شرایط اولیه $x_0 = [5 \ 0]$ در مرحله الگوریتم به مقدار $x^* = [k_p \ k_i] = [7.7419 \ 1.4925]$ همگرا می‌شود. برای این مسئله ω از 0.01 تا 100 و به تعداد 1000 نقطه به صورت لگاریتمی انتخاب شده است. توجه شود که تغییر شرط اولیه، می‌تواند منجر به همگرا شدن به نقطه‌ی کمینه محلی دیگری شود. نتایج پاسخ سیستم حلقه‌بسته به ورودی پله‌ واحد، در شکل‌های ۴ و ۵ رسم شده است. همچنین شکل ۶ نایکوئیست تابع تبدیل حلقه‌باز با کنترل کننده PI حاصل از الگوریتم را نشان می‌دهد. درواقع در تعدادی از مسائل بهینه‌سازی مرحله‌ای، قیود اضافه شده فعلی گردیده تا مانع متوقف شدن الگوریتم گردد. برای این مثال $IE = 0.849$, $IAE = 1.482$ به دست آمده است.



شکل ۷: پاسخ خروجی سیستم حلقه‌بسته به ورودی پله‌ واحد با کنترل کننده PI

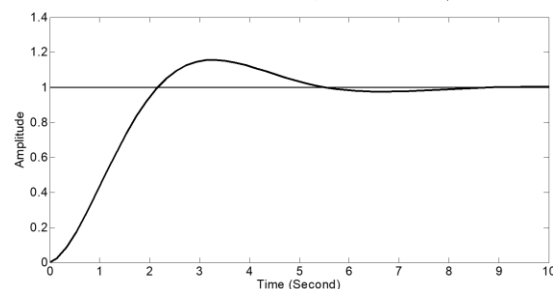


شکل ۸: سیگنال کنترلی سیستم حلقه‌بسته به ورودی پله‌ واحد با کنترل کننده PI

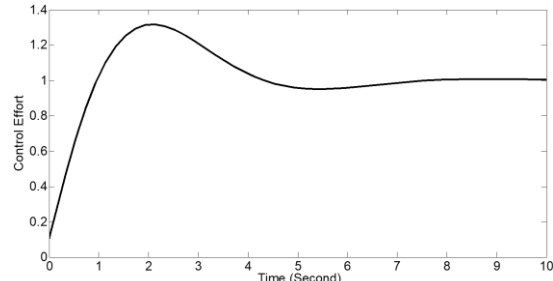
۵- ارزیابی روش با چند مثال عددی

در ادامه نشان داده می‌شود چگونه روش معرفی شده، برای مثال نقض بخش قبل، کنترل کننده مناسب را طراحی می‌نماید.

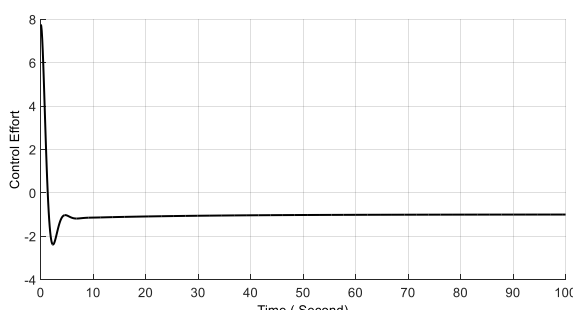
مثال ۱ الگوریتم روش طراحی کنترل کننده PID مقید براساس بهینه‌سازی محدب - مقعر، قادر به طراحی کنترل کننده PI و PID برای سیستم $\frac{1}{s+1}$ نمی‌باشد و علت آن، برقرار نبودن فرض‌های قضیه‌ی بیان شده درمورد حل یکی از مسائل بهینه‌سازی مرحله‌ای برای رسیدن به پاسخ مسئله بهینه‌سازی اصلی است. با الگوریتم اصلاح شده این مقاله، می‌توان کنترل کننده PI با عملکرد مطلوب را طراحی نمود. با شرایط اولیه $x_0 = [5 \ 0]$ و $\alpha = 1$ ، الگوریتم پس از مرحله ۶، به این $x^* = [k_p \ k_i] = [0.1033 \ 1.1779]$ همگرا می‌شود. برای این مسئله ω از 0.01 تا 100 و به تعداد 1000 نقطه به صورت لگاریتمی انتخاب شده است. توجه شود که تغییر شرط اولیه، می‌تواند منجر به همگرا شدن به نقطه‌ی کمینه محلی دیگری شود. نتایج پاسخ سیستم حلقه‌بسته به ورودی پله‌ واحد، در شکل‌های ۴ و ۵ رسم شده است. همچنین شکل ۶ نایکوئیست تابع تبدیل حلقه‌باز با کنترل کننده PI حاصل از الگوریتم را نشان می‌دهد. درواقع در تعدادی از مسائل بهینه‌سازی مرحله‌ای، قیود اضافه شده فعلی گردیده تا مانع متوقف شدن الگوریتم گردد. برای این مثال $IE = 0.849$, $IAE = 1.482$ به دست آمده است.



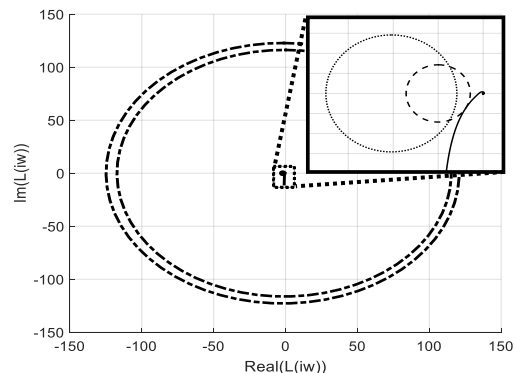
شکل ۴: پاسخ خروجی سیستم حلقه‌بسته به ورودی پله‌ واحد با کنترل کننده PI



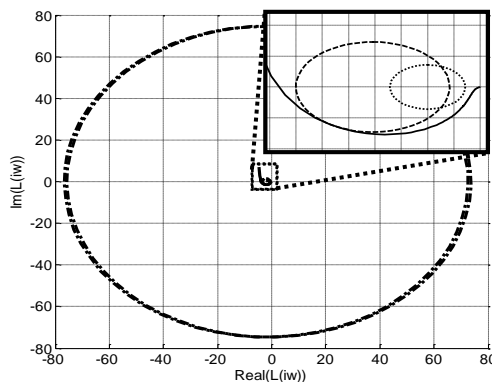
شکل ۵: سیگنال کنترلی سیستم حلقه‌بسته به ورودی پله‌ واحد با کنترل کننده PI



شکل ۱۱: سیگنال کنترلی سیستم حلقه‌بسته به ورودی پله‌ی واحد با کنترل کننده PI



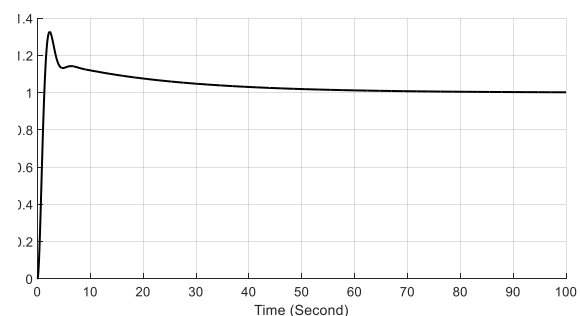
شکل ۹: نایکوئیست تابع تبدیل حلقه‌باز با کنترل کننده PID (منحنی توپر)، قیدهای دایره‌ای (دایره‌های نقطه‌چین و خط‌چین با $M_s = M_t = 1.4$)



شکل ۱۲: نایکوئیست تابع تبدیل حلقه‌باز با کنترل کننده PI جدید و پایدارساز (منحنی توپر)، قیدهای دایره‌ای (دایره‌های نقطه‌چین و خط‌چین با $\alpha = 0.1$) و قیدهای RSS (دایره‌های نقطه‌خط با $M_s = M_t = 1.4$)

مثال ۴) هدف در این مثال طراحی کنترل کننده PID برای سیستم انتقال حرارتی^۱ با تابع تبدیل $P(s) = e^{-\sqrt{s}}$ می‌باشد. کنترل کننده اولیه به صورت $C_0(s) = 1 + \frac{3}{s}$ در نظر گرفته‌می‌شود. در صورت استفاده از الگوریتم محدب - مقعر بدون RSS الگوریتم واگرا می‌شود و علت آن، برقرار نبودن فرض‌های قضیه‌ی بیان شده درمورد حل یکی از مسائل بهینه‌سازی مرحله‌ای برای رسیدن به پاسخ مسئله‌ی بهینه‌سازی اصلی است. با اضافه نمودن قیدهای RSS با $\alpha = 0.1$ و $M_s = M_t = 1.4$ و شرایط اولیه $x_0 = [5 \ 1]$ در ۵ مرحله الگوریتم به مقدار $x^* = [k_p \ k_i] = [7.7419 \ 1.4925]$ همگرا می‌شود. برای این مسئله ω از 0.01 تا 100 و به تعداد 1000 نقطه به صورت لگاریتمی انتخاب شده است. شکل‌های ۱۰ و ۱۱ به ترتیب پاسخ پله‌ی سیستم حلقه‌بسته و سیگنال کنترلی و شکل ۱۲، نایکوئیست تابع تبدیل حلقه‌باز و قیدهای دایره‌ای مربوطه را برای کنترل کننده جدید نشان می‌دهد. برای این مثال $IE = -1.34$, $IAE = 1.736$.

مثال ۳) هدف در این مثال طراحی کنترل کننده PI برای سیستم ناپایدار $P(s) = \frac{10}{(s+20)(s-1)}$ می‌باشد. برای فرآیندهای ناپایدار پایدار گردد. کنترل کننده پایدارساز اولیه به صورت $C_0(s) = 5 + \frac{1}{s}$ در نظر گرفته‌می‌شود. در صورت استفاده از الگوریتم محدب - مقعر بدون RSS الگوریتم واگرا می‌شود و علت آن، برقرار نبودن فرض‌های قضیه‌ی بیان شده درمورد حل یکی از مسائل بهینه‌سازی مرحله‌ای برای رسیدن به پاسخ مسئله‌ی بهینه‌سازی اصلی است. با اضافه نمودن قیدهای RSS با $\alpha = 0.1$ و $M_s = M_t = 1.4$ و شرایط اولیه $x_0 = [5 \ 1]$ در ۵ مرحله الگوریتم به مقدار $x^* = [k_p \ k_i] = [7.7419 \ 1.4925]$ همگرا می‌شود. برای این مسئله ω از 0.01 تا 100 و به تعداد 1000 نقطه به صورت لگاریتمی انتخاب شده است. شکل‌های ۱۰ و ۱۱ به ترتیب پاسخ پله‌ی سیستم حلقه‌بسته و سیگنال کنترلی و شکل ۱۲، نایکوئیست تابع تبدیل حلقه‌باز و قیدهای دایره‌ای مربوطه را برای کنترل کننده جدید نشان می‌دهد. برای این مثال $IE = -1.34$, $IAE = 1.736$.



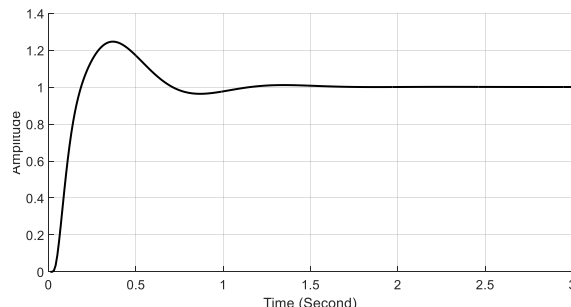
شکل ۱۰: پاسخ خروجی سیستم حلقه‌بسته به ورودی پله‌ی واحد با کنترل کننده PI

^۱ heat conduction

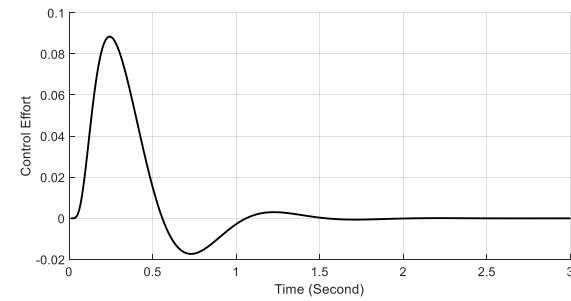
فرم اصلاح شده‌ی الگوریتم محدود - مقعر با قبود حساسیت و مکمل حساسیت ارائه گردید. با ارائه مثال نقضی برای نشان دادن محدودیت روش‌های قبلی طراحی کنترل کننده PID مقید، عدم کارایی آنها بررسی شد. در انتها با انجام طراحی براساس روش پیشنهادی برای مثال نقض و یک سیستم ناپایدار، نشان داده شد که این محدودیت رفع شده است.

مراجع

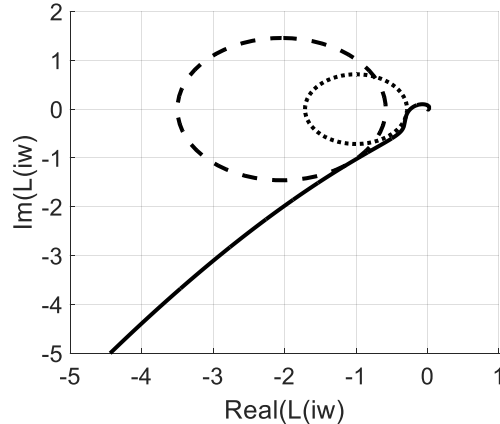
- [1] Wu, Hang, Weihua Su, and Zhiguo Liu, "PID controllers Design and tuning methods," In Industrial Electronics and Applications (ICIEA), 2014 IEEE 9th Conference, Hangzhou, China, pp. 808-813, 2014.
- [2] J. G. Ziegler, N. B. Nichols, "Optimum settings for automatic controllers," Journal of trans. ASME vol. 64, no. 11, pp. 759-765, 1942.
- [3] X. Hea, T. Cuia, D. Zhang, J. Weib, M. Wang, Y. Yua, Q. Liua, B. Yana, D. Zhaoa, L. Yang, "Development of an electric-driven control system for a precision planter based on a closed-loop PID algorithm" journal of Computers and Electronics in Agriculture, vol. 136, pp. 184-192, 15 April 2017.
- [4] سید کمال الدین موسوی مشهدی، حمید یدالهی، "طراحی و ساخت سیستم اندازه‌گیری و کنترل TDS آب در سیستم‌های تصفیه آب اسمز معکوس به روش PID کلاسیک، با توانایی جبران‌سازی اثر دما بر روی اندازه‌گیری"، مجله کنترل، ۱۳۹۱.
- [5] C. E. Garcia, M. Morari, "Internal model control. 3. Multivariable control law computation and tuning guidelines," Industrial & Engineering Chemistry Process Design and Development, vol. 24, no. 2, pp. 484-494, 1985.
- [6] O. Garpinger, T. Hägglund, and K. J. Åström, "Criteria and trade-offs in PID design. IFAC Conference on Advances in PID Control", Brescia, Italy, P 47–52, March 2012.
- [7] K. J. Åström, T. Hägglund, PID controllers: theory, design and tuning, Instrument Society of America, 2nd ed., 1995.
- [8] M. S. Bahavarinia, M. S. Tavazoei, "A new view to Ziegler-Nichols step response tuning method: Analytic non-fragility justification," Journal of Process Control, vol. 23, no. 1, pp. 23-33, 2012.
- [9] K. J. Åström, T. Hägglund, Advanced PID control, Isa, 2006.
- [10] T. Hägglund, K. J. Åström, "REVISITING THE ZIEGLERNICHOLS TUNING RULES FOR PI CONTROL PART II THE FREQUENCY RESPONSE METHOD," Asian Journal of Control, vol. 6, pp. 469-482, 2004.



شکل ۱۳: پاسخ خروجی سیستم حلقه‌بسته به ورودی پله‌ی واحد با کنترل کننده PID



شکل ۱۴: سیگنال کنترلی سیستم حلقه‌بسته به ورودی پله‌ی واحد با کنترل کننده PID



شکل ۱۵: نایکوئیست تابع تبدیل حلقه‌باز با کنترل کننده PID (منحنی توپر)،
قیدهای دایره‌ای ($M_s = M_r = 1.4$)

قویودی که با معیار RSS به مسئله‌ی بهینه‌سازی اضافه شد، سبب شده است منحنی نایکوئیست در هر یک از مراحل بهینه‌سازی بخواهد با زیاد شدن k_i از مرزهای دوازیر حساسیت و مکمل حساسیت فاصله بگیرد، از نامحدود شدن ضربی انتگرال‌گیر جلوگیری شود. بنابراین الگوریتم مرحله‌ای تا همگرا شدن به نقطه‌ی بهینه ادامه پیدا خواهد نمود.

- نتیجه‌گیری

در این مقاله بهبودی بر روی طراحی کنترل کننده PID براساس حل یک مسئله‌ی بهینه‌سازی مقید ارائه شد. این مسئله‌ی طراحی ابتدا به یک مسئله‌ی غیرمحدب تبدیل شد. برای حل این مسئله‌ی غیرمحدب،

[۱۱] حسن ذاکری، سجاد ازگلی؛ "روش طراحی کنترلگر PI برای دسته‌ای از سیستم‌های غیرخطی دارای عدم قطعیت به کمک تجزیه‌ی مجموع مربعات"، مجله کنترل، ۱۳۹۱.

- [12] N. K. Bahgaat, M. A. M. Hassan, Load Frequency Control in Power System via Improving PID Controller Based on Particle Swarm Optimization and ANFIS Techniques, International Journal of System Dynamics Applications (IJSDA), 2014.
- [13] B. K. Sahu, S. Pati, P. K. Mohanty, and S. Panda, "Teaching–learning based optimization algorithm based fuzzy-PID controller for automatic generation control of multi-area power system," Journal of Applied Soft Computing, vol. 27, pp. 240–249, 2014.
- [14] E. Yesil, "Interval type-2 fuzzy PID load frequency controller using BigBang–Big Crunch optimization," Applied Soft Computing, vol. 15, pp. 100-112, 2014.
- [15] M. J. Neath, A. K. Swain, U. K. Madawala, and D. J. Thrimawithana, "An Optimal PID Controller for a Bidirectional Inductive Power Transfer System Using Multiobjective Genetic Algorithm," IEEE TRANSACTIONS ON POWER ELECTRONICS, vol. 29, no. 3, pp. 1523-1531, 2014.
- [16] H. M. Hasanien, "Design Optimization of PID Controller in Automatic Voltage Regulator System Using Taguchi Combined Genetic Algorithm Method," IEEE SYSTEMS JOURNAL, vol. 7, pp. 825-831, 2013.
- [17] K. J. Åström, H. Panagopoulos, and T. Hägglund, "Design of PI controllers based on non-convex optimization," Automatica, vol. 34, pp. 585–601, 1998.
- [18] M. Hast, K.J. Åström, B. Bernhardsson, and S. Boyd, "PID Design by Convex-Concave Optimization," European Control Conference (ECC), Zürich, Switzerland, July 17-19, 2013.